

O₃



Wulf O.R., Melvin E.H.,

Hob.

Phys. Rev., 1931, 38, 330

59

O₃(703)

M.N.

Os

Gerhard Sny

1932

Phys. Rev. 1932, 42, 622

13603

O₃ (ω)

1932

Sutherland G.B.B.M., Gerhard S.I.

Nature 1932, 130, 241

"Raman spectrum and molecular
structure of oxone"

C.A., 1932, 5845

$O_3 (\nu_1; \nu_2; \nu_3)$ 1-2605 1932

Yakovleva A., Kondrat'ev V.

Phys. Rev. 1932, 39, 533

"The ultra-violet absorption spectrum of ozone".

C.A., 1932, 2376

O₃

Heltner g., Pohlman R., Schumacher H.Y. | 1934

Z. f. Phys. 1934, 91, 372

Lefebvre L.,

Hab. C. 2, Acad. sci., 1935, 200, 1743

58

O₃(2a3)

u.n.

O₃

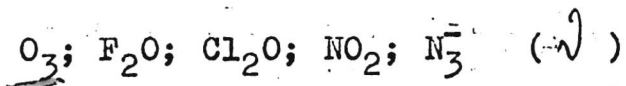
Penney W.G., Sutherland G.B.

1436

Proc. Roy. Soc. 1936, 156A, 654 ~ 678

I 3363

1936



Sutherland G.B., Penney W.G.

On the assignment of the fundamental
vibration frequencies of O₃, F₂O, Cl₂O,
NO₂ and N₃⁻

Proc. Roy. Soc. (London), 1936, 156A,
678

Kelley, bull. 592, c. 997

10

O₃

Mulliken R. S. Rev. Mod. Phys. 1942

1942, 14, 204

Шанд, Ичур

1943

O₃

Shand W, Spurr R.A.

JACB, 1943, 65, N2, 179

Структура

Малодуктическая структура

озона

O-O 1,26 ± 0,02 Å⁰

L O - O - O 127° ± 30

S_{108,1} = 56,81 ± 0,1

88

Θ_3

Simpson & M. Trans. Far. Soc. 41, 209 | 1945

O₃

Fidel A. Dennison D.M. 4 Ch Ph 14,379 (1946)

Check O₃

I 3354

O₃ (Monk. mat.,)

1946

Adel A., Dennison D.M.

Notes on the infra-red spectrum
and molecular structure of ozone

J.Chem.Phys., 1946, 14, 379

Kelley, bull. 592, c.5

H0

O₃

1946

Clockler G.

Matlack G.

Myxopyxis

- 1

BSP - 5182

? " J. Chem. Phys"

1946,

CIP 531-33

I-469

O₃ (L, Eberhardt)

1946

Eberhardt W.H.

J.Chem.Phys. 1946, 14, 641.

"The structure of ozone.

C.A., 1947, 1900a

10, M

I-239

1946

O₃(R, L)

Glockler G., Matlack G.

J.Chem.Phys. 1946, 14, 505-6.

"Structure of ozone".

Ch.A., 1946, 63II²

qp-1

O₃

F-265

1946

Glockler &

Matlack G

CuS

Noct.

11

B90 - 5180

"J. Chem. Phys"

1946, 14, No, 531-33

O₃

Simpson D. M.

1947

J. Chem. Phys. 1947, 15, 846

О синтезе озона

Изложено, что изображение структуры молекул O₃, 1943 и 2108 годов, не соответствует реальности. Основное внимание уделяется синтезу озона в гидротермальных условиях. Для этого были изучены различные методы получения озона. Особое внимание уделяется методу Григорьевского синтеза озона в воде при температуре 150°C.

матінч. та $\lambda = 2108\text{nm}$ не збігають основної галузі, а основна зваження складається навколо 1740nm . Поки че, та. Тому може виникнути питання щодо використання та з розрізняємою зонами спектра можна вимірювати Ω_3 .

O₃

1948

Configuration

B90 - 5-184-1

Dewar M.F.S.

1948, 1299-305

"The Structure of Ozone"

Hill G. R.,

leotugob

K.S.

N11

J. Am. Chem. Soc., 1948,

70, 1306

$\text{SH}_4\text{O}_3(\text{r})$

I-281

1943

O₃ (V)

Wilson H.K., Badger R.H.

J.Chem.Phys. 1948, I6, 741-2.

"A reinvestigation of the vibration spectrum of ozone".

Ch.A., 1948, 66556

+0



~~9-27~~

O₃

Boggs R.M., Wilson M.K. J.Cl.Ph. 18: 998 | 1950

Задержан O_3 физике Гюнтером и Петерсон.

Отмечается, что поиски общего газа

III Окт. в радиотехнической $\nu_1 - \nu_2$ неудавались,

так как при наблюдении было с глубиной
ископаемых пробоем и при температуре

сухого леса

D₃

Gutowsky H.S., Peterisen E.M. J.Ch.Ph.

1950

18,564

Ungefälligkeiten entstehen im eiszeitlichen D₃

Wiederholung verschiedenartiges von 900 bis 2150 cm⁻¹. Keine

gewisse Art $\nu = 1013 \text{ cm}^{-1}$ u $\nu = 2108 \text{ cm}^{-1}$

Wiederholung verschiedenartig wie D₂ u D₃.

Անօպերատոր թափական գույք առաջն

Վառ!	Օպեր. ցան	Դաշտ ցան
795	ν_2	ν_3
1043	ν_3	ν_2
1110	ν_1	$\nu_1 - \nu_2$ ($3\nu_3 - \nu_2$)
1740	$\nu_2 + \nu_3$	$\nu_2 + \nu_3$
2105	$\nu_1 + \nu_3$	ν_1
2800	$\nu_2 + 2\nu_3$	$\nu_1 + \nu_3$
3050	$3\nu_3$	$\nu_1 + \nu_2$

I-242

1950

O₃ (V_i)

Herman R., Herman L.

Compt. rend., 1950, 230, 1516-1518.

Emission spectra of ozone.

C.A., 1950, 44, 7655h

10

I-241

O₃ (Ni, Mar. unpubl.)

1950

Gutowsky H.S., Petersen E.M.

J.Chem.Phys., 1950, 18, 564-565.

The infrared spectrum and structure
of ozone.

C.A., 1950, 44, 6273g

10

T-260

O₃ (V_i, Empyrene)

1950

Wilson H.K., Ogg R.A.

J.Chem.Phys., 1950, 18, 766.

Pressure-broadening-effects in infrared spectra: ozone.

C.A., 1950, 44, 6723E

10

O₃ (J, H, F, S, C_P) I-479

1951

Klein M. J., Cleveland F. F., Meister A. G.

J. Chem. Phys. 1951, 19, 1068-9

"Force constants, frequency assignments, and thermodynamic properties of ozone." TCSB 92. n.

5

C.A. 1952, 1826d

O_3

Cleveland F.F., Klein M.Y. J.Ch.Ph. 20,337 | 1952

Синтез и свойства
и т.д. в озона

М. В. земли в O_3 испаряется
и убогнет и синтезируется
и фиксируется O_3
известных альохим тане

θ₃

Darling B.T., Weiss Y.A. J. Ch. Ph. 20, 747, 1952

Tewksbury ogoher



+

O_3 | Migeotte H., Neen D., Vigroux E.

1952

Physica 18, 982

Тонкая структура иона O_3 в областях 9,6 мк в электрическом поле и в гравитационном ускорении.

Линии классического полярных и гравитационных. Выделены 6 линий в областях 9,346-10,152 мк. Результаты лучше описаны субатомарным дроби

O₃

Hughes R.H. Phys. Rev. 85, 717 | 1952

Изучение вибрационных состояний в субкубусе
оzone

24/4

Предварительное согласие о публикации
в журнале "J. M. Ph." в 1952 г.

1

O₃

I-268

1953

Howard J. N.

Shaw J. H.

cuersp

Recd - 54/9/57

"J. Chem. Phys"

1953, 21, N3, 558-59.

T-269

O₃ Hughes R.H. J.Ch.Ph. 21, 959

1953

M.B. ерекшүү үүсүүктүрүү озотка

Исследован автором образец O₃ с физическими свойствами
 в T₀⁰ в барах 300-450 кг/м². Видимое же, то оно имеет
 в природе ту же форму и состоящее из молекул H₂O₂.
 Исследование показало что оно имеет форму 16-ти
 граней правильной октаэдрической призмы в 1956 г.

J.Ch.Ph.

C.A. 47, 7898d

Изменение геодезических координат с высоким точностью
Время измерения $\Sigma t_{\text{изм}}$ определено для изотопов
 O_3^{16} ; $O_2^{16} O^{18}$; $O_2^{16} O_2^{18}$ и O_3^{18} . Группировка измерений
изменяется для каждого изотопа. (An, Br, Ar и Br)
определены 15 параметров землетрясения R_e и α
 $116^{\circ} 25' \leq \alpha \leq 117^{\circ} 2,2'$
 $1,2758 \leq R_e \leq 1,2794$

Вращательное изменение не определено.

O₃

Tin C.V.

1953

envelope

B4P - 5448-1
T-246

"J. Opt. Soc. Amer."

1953, 43, N10, 870-73

O₃

B9P-245-II
I-283

1953

Potter.

Cubyns. "J. Chem. Phys et phys-chim
biol."

1953, 50, N1, 10-21-

03

Shaw J.H., Howard J.S.

1953

Astrophys. J. 117, 460

Morocco zone B elevation 4,700 ft
cretaceous corals

CA. 47,7314g

O₃

T-277

1953

Tanaka V.

Jin E. C. V. et al.

Bakkyar,
Y. D. Chackr
adappa
Chakr:

Dip -54.5°9 + 7

"The J. of Chemic"

1953, 21, n10, 1651-53

I-278

1953

O₃(A, B, C, $\mu_{O-O} > 0.00$)

Tramburulo R., Ghosh S.II., Burrus C.A.,
Jr., Gordy W.

J.Chem.Phys., 1953, 21, N 5, 851-855 (Amn.)

The molecular structure, dipole moment
and q factor of ozone from its microwave
spectrum.

PK, 1954, N 7, 21306.

10



O₃

Traubarelo R., Ghosh S.N., Burzus C.A. 1973

Gorely W. M. Ph. 21, N3, 251

More beyond fused sulphurite; growth and movements in the zoning of the s.l. sulphurite
by means of measurements

$$A = 106530,0 \pm 1,1 \text{ Mc}$$

$$B = 133119,06 \pm 0,06; C = 118311,3 \pm 1,1$$

$$D_0 = 1,278 \pm 0,003 \text{ \AA}; L = 116^\circ 49' \pm 30'$$

Использование 4 из 6х бранчевых перегородок
в диапазоне 42°-118° кМу

O₃

Tremblay R., Gwsh S.N., Burros P.A., | 1953

Gordy W. J Ph. Rev. 91, 222 A

Morphology of a nucleic acid
chitin O₃

O₃

T-280

1953

Tigroux E.

Migeotte Il, New Z.

crewp.

BSP-5466-7

"Physica" 19
140-142

I-279

1953

O₃ (ν_i)

Vigroux E.

Ann. phys., 1953, 8, sept.-oct., 709 -
- 762 (opacces.)

Contribution à l'étude expérimentale de l'absorption de l'ozone.

REF, 1954, N 17, 39153

PL

O₃

Walsh A. J. Pharm. Soc. 2266 1953

Электронные обмены, пропорции и структура
многоатомных молекул. Рядок II.

Молекулы A_2B_2 и ABC в квадратичные
изогипергидры

O₃

Wolfe P. S., Williams D.

1954

Phys. Rev. 1954, 93, 360

Изотропное излучение

Испытываясь на излучении в

диапазоне 20-30,3 к.Мг/сек. Излучение

имеет характер излучения с

распределением Ниггеса, т.е.

+

T-3351

O₃

Fischer - Highways Yager

1955

g.Chr. Ph. 1955, 23, 111

Temperaturreiche weichholzige Waldbäume
gross

Wurzeln waren offen



+

O₃

Gora E.K. Phys. Rev. 1955, 99, 666A
100

Излучение избыточное при $\gamma = \text{O}_3$

Несимметрическое при $\gamma = 50$

O_3

L.Pierce

1955

~~Phys. Rev., 92, 663A~~

Degrees centigrade facsimile P.
voice

Print O_3 the following numbers are
not yet checked with the original
facsimile

$$A_0 = 106534,45 \quad ; \quad B = 13349,19 \quad u \quad C = 11834,14 +$$

O₃

Walshaw C.P.

1955

и-к спекбр
ирица и-
ции

Br.Ph.S. 1955, 68A, 530

Ирица лист 9,6 выше 9,6μ
в озне.

Происходит изомеризация ионизированного
бромидованильных листьев выше 9,6μ
при низком давлении и недостаточном
тепле фаз-перехода. Ионизация
ирица при 760мм и 20°C

neigung fabrur 0,078 cm⁻¹

1955

Оз.

Жадоминский Н.Е.

Успехи химии 1955, 24, 730
Радиоспектроскопия и
строение молекул (однор.,
около 130 ссыпок) изложена.
Запись двух ученых связана
и ее можно считать рассмотрен-

ем CO.

O₃

Bass A.M., Broida H.P.

1956

Spectrochim. acta, 1956, 8, 299.

Circular polarization of solids condens-
ed from & measured. prepared reg-
ularly
Ksp. coating.

In IR obs. made. The new
measured ~20 cm⁻¹: 3030 + 3499 cm⁻¹

3030 is coorb O₃ (Brugol gave 3050)

1956

O₃

Herron J. T., Schiff H. J.

J. Chem. Phys., 1956, 24, 1266

Macc-cneke-pauer pure O₃ vsa.

Bp - 24.3 - 7

Morris. non equilibrium vsa $12.80 \pm 0.05 \text{ a.b}$

O₃

13

Физика

R.H. Hughes

T-245 1456

J. Chem. Phys. 24, 31, 131-138

Суперфре озона 43 м.в. супре
б 007.9000-45000 кгс.

$$Z_{\text{SO}} = 1.278 \pm 0.0028$$

Эксприментальный
знач: 1.26 ± 0.02

$$\angle 100 = 116^\circ 45' \pm 32'$$

$127^\circ \pm 3^\circ$

Зимовки. моя

0.53 ± 0.05 gefaß.

Ch. Abst.

31.7.1956

Раба. настен. паноб

при $T = 22^\circ K$ трансверс.

$\approx 0.201 \text{ МГц}$

Чеснокование приходящееся с грибом образует О₂:
а) естественное ($0,20\% O_2$); б) $1,5\% O^{18}$ и в) $30\% O^{18}$

Обнаружено, что Jones,om, Kedberg,om и Schimakow,om
имеют приблизительно одинаковое радиоизотопическое исследо-
вание О₂ давшее совпадение с нейтронами при-
гашением L и 20-0

Вранг. имен. не приходилось.

I-248

1956

Köplan L.D., Migeotte M.V., Neven L.

 O_3

J. Chem. Phys., 1956, 24, 1183.

9,6 μ -Band of Telluric Ozone and

Its Rotational Analysis.

 O_3

creepin

tell ozone

$$V_b = 1042.1_6 \text{ cm}^{-1} \quad t = 3, SO_2 \}$$

$$B = 0.440, \quad \left. \begin{array}{l} \text{before capo-} \\ \text{ture} \end{array} \right\}$$

$$C = 0.388_3, \quad \left. \begin{array}{l} \text{in a} \\ \text{IR oven} \end{array} \right\}$$

+ +

Для кинетика притяжания в соревновании с
ролью Pierce

$$A = 3,55380 \text{ см}^{-1}, B = 0,14530 \text{ см}^{-1} \text{ и } C = 0,39477 \text{ см}^{-1}$$

Исследование проведено на синтезаторе
с рентгеном, установленном в Париже. Годы. Годы.
Найдено значение зеркала 1 м.

03

W. G. Neeser

1956

стар.

Dissert. Abstr. XVI, 14, 741.

Изучение и анализ вращ. движений
сфукуре $\frac{1}{2}$ полосы озера.

$$\gamma_0 = 701.42 \pm 0.04 \text{ см}^{-1} \quad (500 \text{ магн.})$$

$$A_{[010]} = 3.5934 \pm 0.0004 \text{ см}^{-1}$$

$$B_{010} = 0.4300 \pm 0.001, \quad C_{010} = 0.4058 \pm 0.0004 \text{ см}^{-1}$$

$$K = -0.6848 \pm 0.001$$

$V_1 = 1110 \text{ cm}^{-1}$ гарнее відповідає
виявлено 200 пакетів
близько $1180 - 1070 \text{ cm}^{-1}$.
Академічний рівень не відпові

D₃

H.K. Paetzold

1951

Z. Naturforsch. IIa, 128-30:

U. K. моравицкое оз. Озод

Кеследовка явленіемъ нынѣшнаго озера
имъ озеромъ въ області 9,6 кмъ въ южномъ
тире берегъ на глубину моря
(до 30 м.) и берегъ моря.

СА. 51

4820, б

O_3

Pierce M., J. Phys 1956, 21, 139

- 1956

Определение симметрии молекулы O_3 по
спектральным данным.

Причесание метода Кубенсона и Биссона
для определения симметрии молекул O_3
из спектров энергии V неско-
гл. находим $a = 106534,74$; $b = 13348,95$
 $c = 12834,30$. Определены

$$fd = 5,7007 \cdot 10^5 \quad f_a/d \approx 1,2847 \cdot 10^5$$

$$f_{d\alpha/d\theta} = 0,3324 \cdot 10^5 \quad \text{u} \quad f_{dd} = 1,5233 \cdot 10^5$$

Grafenmeßwerte geben $\nu_1 = 1110$; $\nu_2 = 705$; $\nu_3 = 1043$

I-257

H_2O , D_2O , H_2S , D_2S , H_2Se , D_2Se , NO_2 ,

1956

NO_2 , O_3 , Cl_2O , SO_2 , Cl_2O (силовые
постоянные)

Smith S., Linnett J.W.,

Trans. Faraday Soc., 1956, 52, N 7, 891-
903 (англ.)

Молекулярные силовые поля. Часть I6.
Силовые постоянные некоторых нелинейных
трехатомных молекул.

РЖХ, 1957, № 3,

7196

D₃
=

Fischer-Hjalmars J. 1954
Ark. Fys., II, Paper 5, 529-65.

Gällsporsdal copper-
mines. Copper

Ytterberg. baccu. in heavy
tailingship effus.

CA 51

16075i

1957

Lichten W.

O₃

J. Chem. Phys., 1957, 26, 306.

Mycelium nigrae spores

mucosa- mucocaruncularis concreta

muscaria mucopurpurea spores.

coccoloma

O₃

McGrath W.D.
Worrich R.G.W.

1957

Proc. Roy Soc. L A42, 265-76.

ϕ new frequency option

CA 52

6948C

O₃

Bsp - 1096-III | 1957

Schiff. H.J. I-2200

(y) "Ann. N.Y. Acad. Sci.",
1957, 67, no, 518-19.

O₃

Vigroux E., Migeotte M., Neven Y.

1957

Physica 1957, 19 140

Инцигентные волны O₃ при 9 μ; 4,75 μ; 3,59 μ и
3,27 при близких частотах

Помеха подавлена при близких частотах

в λ=9 μ возникла 6 Q линий в симметрии

близких частотах при этом S₁₁₆ S₁₁₇

1314 cm⁻¹

CA 18, 1154h

I-259

H₂, O₂, H₂S, CH₄, NH₃, HCl, HBr, HI, H₂O₂, 1957

H₂S, CO₂, SO₂, CO₃, H₂O, NO₂, O₃, NH₃, Cl₂, C₂H₆,

CH₃Cl, CH₃Br, CH₃I, C₂H₅Cl, C₂H₅Br, C₂H₅I,

C₂H₅S, CH₂Cl₂, CHCl₃, COCl₂, C₂H₄, C₂Cl₃, C₂H₂,

CH₃OH, C₂H₅OH (I)

Matanabe K.,

J.Chem.Phys., 1957, 26, II No. 502-547 (JAP.)

Порядок изменения концентрации молекул.

Zh., 1957, 11, 24,

76500

10

O_3

Harvey K.B., Bass A.M. 1958.

при $+40^{\circ}K$.

J. Molecul. Spectr., 2, 405-410.

У.к. показания продуктов разложения
записи O_2 и O_3 при $+40^{\circ}K$.

Нагр. радио-

O_3 при $+40^{\circ}K$

$3V_3$	3060
$V_1 + V_2 + V_3$	2800
$2V_1$	2150
$V_1 + V_3$	2110
$2V_3$	2060

3050	$V_2 + V_3$	-	1740
2800	V_1	1120	1110
2405	V_3	1050	1043
2105	V_4	704	705
-			

O₃

Kwang-Hsien Hsue, upr. 1958

Pei Ching Ta Hsiieh Hsiieh.
Pao-Tzo Jan Ko Hsiieh,
4, 215

Сиркумфра географических
местоположений, содержащих
супротивное значение



1-249

1358

O₃

Ogawa M., Cook G. R.

J. Chem. Phys., 1959, 28, 123.

Kоэффициенты
нормации

Радиационные нормации
O₃ в барийном гидролизе
воды. Обзор.

D₃ Dauti A. Lord R.C. 1-235 (1959)

SO₂

J. Chem. Phys., 1959, 30, 1310-13

Тип спектр. Число колеб.

O₃ и SO₂ в от 100-200 μ.

Для O₃ взаимодействие с гамма излучением.

O₃

E.K. Gill, K.Y. Baidler

Visg

Trans. Faraday Soc., 55, 253-9

Korelsanus in paylometric month O₃

tribegetek

Civisb. mag. 2 Novaeftoggy Bubkeske

CA

54

S193

8

1 - 238

O₃ (Z₀₋₀, < 000, V_i, ?)

1959

Gill E.K., Laidler K.J.

Trans. Faraday Soc., 1959, 55, N 5, 753-
759.

Колебание и разложение молекулы озона.

PAX, 1960, N 5,
16597.

6

O₃

Gora E.K.

1959

J. Jewl. Spectroscopy, 3, 78

Враждебній ефект озера.

Kingsbury & Myrick:

$$A = 106536,12; B = 13349,12; C = 11834,45$$

Приблизно

но керманская

positive Hexzen, e $\gamma_2 = 701,42 \text{ au}^2$

D₃

E.K. Gora. (I-240) 1959

J. Mol. Spectroscopy 3, 78-99

Вращающийся кипар осотка

Вращаение по орт. осям, изогнутые
границы

CA 54, 1960

A = 1,355360 B = 0,44527 C = 0,39475 Гра.

18,068 %

1959

T-250

3
A bond-order/bond-length relation for oxygen-oxygen bonds. W. J. Orville-Thomas (Univ. Coll. Wales, Aberystwyth). *J. Mol. Spectroscopy* 3, 588-91(1959); cf. Coulson, *CA* 46, 5378e.—Theoretical calcns. have been carried out for O—O bonds, and a bond-order/bond-length curve has been drawn. The bond-order value for the O—O bonds in O₃ was 1.707. The curve obtained from previously detd. bond lengths had points lying on a smooth curve.

Robert A. Bleidt

C.A.1961.SS.11.10047C

I-258

1959

NO_2 , O_3 , SO_2 , F_2O , NH_3 , (силовые
 HF_3 , H_2O , H_2S , H_2Se , ClO_2 ПОСТОЯННЫЕ)

Van de Vorst A.

Bull. cl. sci. Acad. roy. Belg., 1959, 45, NIO,
966-973.

О принципиальности поля центральных сил в
молекулярных колебаниях.

PMK, 1960, № 21,
83697.

92-1

O₃

J. A. Weiss

Dissert., Abschr., 19, 1795 (WR).

1959

Mesopl. monogah. ozarka.

CA 53 class
W8, 6 kg C

1960

0 3

2B54. Измерения, зависящие от времени, и строение молекул. Озон. Берг Р. Степен Time dependent measurements and molecular structure: ozone, «Revs Mod. Phys.», 1960, 32, № 2, 447—454 (англ.).—С точки зрения общих принципов квантовой механики обсуждена зависимость результатов измерения свойств квантовомеханич. системы от времени измерения. Особо рассмотрен случай малого расщепления уровней энергии стационарных состояний молекулы (напр., расщепления,

см. н/θб

09.1961.2

обусловленные туннельными переходами ядер). Рассмотрен вопрос о мере нестационарности состояний молекулы, в которых одинаковые ядра находятся в неэквив. положениях. Обсуждено влияние туннельных переходов ядер типа псевдовращения (ПВ) на физич. свойства молекул. Подробно рассмотрено ПВ молекулы озона O_3 . Оценка, основанная на экстраполяции потенц. поверхностей, известных для малых колебаний ядер, в область больших смещений из положения равновесия, дала значение потенц. барьера ПВ молекулы (при кото-ром поменяются местами атом O , расположенный в вершине равнобедренного треугольника O_3 , и один из ато-мов O , расположенных в основании этого треугольника) 150 ккал/моль, что соответствует чрезвычайно малой ча-стоте туннельных переходов (10^{-90} сек. $^{-1}$). Указано на возможность большей роли ПВ в возбужденных колеба-тельных состояниях молекулы O_3 , и обсуждена возмож-ность обнаружения ПВ в спектрах ядерного магн. резо-нанса и в микроволн. спектрах.

Т. Ребане

I-229

O_3 (\checkmark для тунельного перехода) 1960

Berry R.S.

Revs.Mod.Phys., 1960, 32, N 2, 447-454
(англ.)

Измерения, зависящие от времени, и молекулярная структура.

РЖХИМ., 1961, 24Б51

I - 237

1960

7Б115. Чисто вращательный спектр озона в области 125—500 μ . Gebbie H. A., Stone N. W. B., Walshaw C. D. Pure rotational association of ozone in the region 125—500 microns. «Nature» (Engl.), 1960, 187, № 4739, 765—767 (англ.).—Чисто вращательный спектр поглощения O_3 в газообразном состоянии при давл. 0,4—0,9 atm получен в области 125—500 μ с помощью вакуумного интерферометра. Положение измеренных линий согласуется с результатами расчета по постоянным, найденным Гора (Gora E. K. «J. Mol. Spectroscopy», 1959, 3, 78), а также с данными, полученными Данти и Лордом (РЖХиМ, 1960, № 4, 12309). Поддерживается предположение о том, что неидентифицированные линии в дальней ИК-области спектра солнца могут быть отнесены к линиям поглощения озона, содержащегося в верхних слоях атмосферы.

В. Юнгман

1961

0
3

I - 237

1960

4B173. Чисто вращательный спектр озона в области 125—500 μ . Gebbie H. A., Stone N. W. B., Wallshaw C. D. Pure rotational association of ozone in the region 125—500 microns. «Nature» (Engl.), 1960, 187, № 4739, 765—767 (англ.).—В области 125—500 μ исследован вращательный спектр озона. Озон получался при помощи разряда в O_2 с последующей разгонкой смеси O_2 и O_3 при т-ре жидкого азота. Излучение ртутной лампы проходило через кювету с O_3 в интерферометр Майкельсона, в качестве детектора использовался приемник Голлея. Полученные интерферограммы подвергались анализу Фурье. Достигнутое разрешение 0,3—0,8 cm^{-1} . Результаты совпадают с данными более ранних спектроскопич. (в области 125—200 μ) и микроволн. исследований. Наличие полос O_3 вблизи 22 и 28 cm^{-1} позволяет объяснить особенности спектра Солнца в этой области поглощением O_3 в верхних слоях атмосферы. Д. Щепкин

оп. 1961.4

93

T-237

1960

Pure rotational absorption of ozone in the region 125-500 μ . H. A. Gebbie, N. W. B. Stone, and C. D. Walshaw (Natl. Phys. Lab., Teddington, Engl.). *Nature* 187, 765-7 (1960).—Spectra of O₃ free from O₂ and H₂O were obtained by an interferometric technique, the interferograms being converted to spectra by Fourier transformation on a digital computer. Several well-defined Q-branches were found at frequencies agreeing with those found in earlier microwave observations over narrower frequency ranges (Gora, CA 54, 18069b; Danti and Lord, CA 53, 17667g). Addnl. well-marked absorption lines are due to H₂O, probably formed by interaction of O₃ with silicone rubber or grease in the absorption cell. The confirmation of Q-branches near 22 and 28 cm.⁻¹ in the lab. spectra makes plausible the suggestion that unidentified features in the solar spectrum are attributable to O₃ in the upper atm.

H. I. Stonehill

C.A.1961.55.5.4148 ef

Copyright

O₃
N₂O
F₂O

Approximate electronic energy surfaces from cusplless wave functions. Carl E. Wulfman (Defiance Coll., Defiance, Ohio). *J. Chem. Phys.* 33, 1567-76(1960).—The eigenfunctions of a mol. Hamiltonian in which all Coulomb potentials are replaced by Hooke's law potentials are easily detd. Their electronic parts are essentially single-particle single-center harmonic oscillator, or Gaussian wave functions originating at the center of nuclear charge. An investigation was made to det. the feasibility of using these cusplless base functions in variational calcns. of relative mol. electronic energies. Addn. of Coulombic or δ -function singularities to the Hooke's law potentials leads to the formation of rigid mol. systems. The Coulomb potentials in 21-26 electron triats. can be treated as a perturbation on quadratic potentials. Approx. homonuclear 8-, 20-, and 40-electron polyatoms are configurationally unstable. The mols. CO₂⁺, CO₂, N₂O, NCO⁻, BO₂⁻, N₃⁻, and NO₂⁺ should all be linear. A no. of excited states of these mols. and the mols. NO₂⁻, O₃, FNO, and F₂O, should all be non-linear. The stable form of N₂O is N—N—O rather than N—O—N. Henry Leidheiser, Jr.

C.H. 1961, 55, 15
14046 efg

T-234 1961

 O_3

Curran R. K.

 D J. Chem. Phys., 1961, 35, 1849.

Возможные атмосферные концентрации

 O_2

роват в озере.

Городок

$$D(O_2 - O) \leq 1,02 \pm 0,15 \text{ см}$$

2-1-24

$$A(O_2) \geq 0,58 \text{ см}$$

Большое значение получено из-за са-
мого

2 мс

O₃

Hearst A.C.

1961

nozomene

Proc. Phys. Soc., 78, NS04, 932

b.y.g.-u ber-

gremia oza. Nozomenie ozona b.y.g.-u bergeren
osnachax emekfer-

Wysokich znaczeni kowozgryzieniu
nozomenu ozona gazu gazu kwas
triglicin OT 2537 do 5770A

D₃

G. Herzberg, A. Monfils
B. Rosen.

~1961

1281

Mémoires Soc. Rég. Liège
cinquième série, tome IV
fasc. unique ; Extrait.

P-146-178

I-251

H₂, O₂, H₂O . (I: H, O, OH, O₃, H₂O₂) I96I

Pham Dong, Cottin M.

J.chim.phys.et phys.-chim.biol., I96I,
58, N 9, 803-811 /anm. /

Etude des produits de décomposition
thermique de l'hydrogène, de l'oxygène
et de la vapeur d'eau par spectrométrie
de masse.

PX, I962,
10650

Eq3 emu.

10

1962

03

Aronson J. R., Lafferty W.,
Lord R.C.

Advances molec. Spectrosc.,
V. I., 49

Многогранное спектральное
исследование с помощью
спектрометра с квантово-
механическим UK-
спектрометром.

М. Ч.

1962

O₃

Laurie Victor W., Herschbach Dudley R.

J.Chem.Phys., 37, No 8, 1687

Влияние колебаний на определение молекулярной структуры. II. Средние структуры, полученные по спектроскопическим данным.

Parker P.M.

Hob

J. Chem. Phys., 1962, 37, 1596

60

O₃(gas)

w.w.

1962

O₃

Wilson E. Brigh, Jr.

"Internat. sympos. Molec. Struct
and Spectrosc. Tokyo 1962"

S.Y. s.a. 6 4/1 - 6 4/12 (Accts)

Нови методи по изучаване

персонални експериментални
резултати по химии

(Cu-N₂F₂)

X. 1963. 12

1963

4 Д76. Теория нелинейных трехатомных молекул с одинаковыми ядрами и молекула O_3^{16} . Darling B. T., Nadeau G. Theory of nonlinear homonuclear triatomic molecules and the O_3^{16} molecule. «J. Molec. Spectrosc.», 1963, 11, № 3, 200—228 (англ.)

Дано теоретич. рассмотрение задачи о колебаниях и вращении нелинейной молекулы из трех одинаковых атомов, в частности, молекулы O_3^{16} . Подробно рассмотрена задача учета перестановочной симметрии ядер (в случае, когда равновесная конфигурация молекулы не совпадает с равносторонним треугольником, существуют три равновесные конфигурации, получаемые одна из другой циклич. перестановкой одинаковых ядер). Введена угловая координата χ , соответствующая циклич. перестановкам ядер (и позволяющая, в принципе, учитывать просачивание через барьер потенц. энергии). Все волн. ф-ции разделяются на два класса: 1) четные или нечетные периодич. ф-ции χ с периодом $2\pi/3$ и 2) четные или нечетные ф-ции от χ , меняющие знак при замене χ на $\chi+2\pi/3$. Получены строгие правила отбора вращательных переходов между уровнями различных классов; переходы между уровнями одинакового класса запрещены. Обсужден вопрос о расщеплении уровней (обусловленном идентичностью ядер). Т. Ребане

95.1964.ЧА

№ 24 в 16. Теория нелинейных трехатомных молекул с одинаковыми ядрами и молекула O_3^{16} . Darling B. T., Nadeau G. Theory of nonlinear homonuclear triatomic molecules and the O_3^{16} , molecule. «J. Molec. Spectrosc.», 1963, 11, № 3, 200—228 (англ.)

С целью исследования динамики трехатомных молекул с одинаковыми ядрами вводится спец. система координат с одним линейным и двумя угловыми параметрами, позволяющими описывать не только колебания и вращения молекулы в плоскости, но также и обмен между ядрами. Последнее обстоятельство позволяет ввести новые дополнительные правила отбора и классифицировать все состояния по отношению к повороту молекулы на $\pi/3$. Вырождение между четными и нечетными состояниями снимается в результате туннельных переходов, причем четные периодич. решения отвечают более низкой энергии, чем четные антипериодические. Для нечетных решений справедливо обратное утверждение. Приведены некоторые соображения в пользу того, что потенциальный барьер между эквивалентными конфигурациями меньше энергии диссоциации O_3 на молекулу O_2 и атом O в основных состояниях. При этом равновесное расстояние между ядрами должно быть близким к экспериментальному.

Е. Никитин

26.1964.24

1962

1963

0₃

7 Б46. Электронное строение озона. Gould R. D., Linnett J. W. Electronic structure of ozone. «Trans. Faraday Soc.», 1963, 59, № 5, 1001—1018 (англ.)

Методом MO с учетом взаимодействия конфигураций и методом валентных схем проведен расчет O_3^{2+} , O_3^+ и O_3 в π -электронном приближении. Длины связей приняты равными 1,278 Å и угол между связями $116^\circ 49'$. Найдено, что молекула озона лучше описывается в терминах двух-, трехэлектронных связей, чем в терминах резонанса двухвалентных схем, включающих простую и двойную связи.

И. Станкевич

Х. 1964. 7

1963

0₃

4 Д77. Электронная структура озона. Gould R. D., Linnett J. W. Electronic structure of ozone. «Trans. Faraday Soc.», 1963, 59, № 5, 1001—1018 (англ.)

Сопоставлены различные простые представления π -электронной волн. ф-ции молекулы озона и молекулярных ионов O_3^{2+} и O_3^{3+} , рассчитанных тремя методами: МО с ограниченным учетом конфигурац. взаимодействия, валентных структур и предложенным ранее одним из авторов (Hirst R. C., Linnett J. W. «J. Chem. Soc.», 1962, 194, 1035, 3844) упрощенным вариантом метода различных орбит для различных спинов. В качестве базисной системы атомных ф-ций использованы водородоподобные и слейтеровские $2p$ -орбиты; молекулярные интегралы вычислены по приближенным ф-лам. Найдено, что последний из перечисленных методов дает наилучшее приближение. Основной вывод состоит в том, что в простом приближении химич. связь в молекуле озона лучше всего представляют две трехэлектронные связи, а не суперпозиция двух валентных структур, включающих единичную и двойную связь, что предполагалось ранее.

С. Ветчинкин

ф. 1964. ЧН

O₃

89-XI-1969

1963

спектр

11 Б221. Вращательно-колебательный анализ полос ν_1 и ν_3 озона в области 9 микрон. Kneizys Francis X., Clough Sheppard A. The rotation vibration analysis of the ν_1 and ν_3 bands of ozone in the 9-micron region. Abstract. «Sympos. Molec. Struct. and Spectrosc., Columbus, 1963». Columbus, Ohio, s. a., 35—36 (англ.)

По методу наименьших квадратов обработаны 400 линий каждой из полос ν_1 и ν_3 спектра озона. На основании расчета построен контур поглощения, хорошо соглашающийся с наблюдаемым спектром в области 8,7—10,0 μ . Вычислены частоты и интенсивности переходов до $J=50$.

М. Ковнер

д. 1965. 11

39-XI-1909

1963

O₃

8 Д66. Вращательно-колебательный анализ ν_1 и ν_3
полос азота в области 9 μ . Kneizys Francis X.,
Clough Sheppard A. The rotation vibration analysis
of the ν_1 and ν_3 bands of ozone in the 9-micron region.
Abstract: «Sympos. Molec. Struct. and Spectrosc., Co-
lumbus, 1963». Columbus, Ohio, s. a., 35—36 (англ.)

ф. 1964. 8 №

1963

O₃

Tonis R. V. St.

Niss. Acte., 1963, 24, n^o 5, 1855

rek - спектр

Углекислота рек - спектр
смесей азота и киссе-
рова при разных тем-
пературах.

(дн. № 2)

1963

03

Спектр

№24 Б72. Полоса поглощения озона 4,75 μ . Trajmar S. The 4.75, μ band of ozone. Abstract. «Sympos. Molec. Struct. and Spectrosc., Columbus, 1963». Columbus. Ohio, s. a., 53 (англ.)

Проанализирована полоса поглощения озона 4,75 μ , наблюдаемая в спектре земной атмосферы. Подтверждено соответствие этой полосы комбинационной частоте ($v_1 + v_3$). Определены предварительно следующие значения вращательных констант для центра полосы: A , 3,513, B 0,437, C 0,387 и v_0 2110,65 см^{-1} . М. Киселева

Х. 1964.24

XI - 2395 (?)

1963

O₃
анал

10 Д144. Полоса поглощения озона около 4,75 μ .

Trajmar S. The 4.75 μ band of ozone. Abstract. «Sympos. Moléc. Struct. and Spectrosc.», Columbus, 1963». Columbus, Ohio, s. a., 53 (англ.)

Проанализирована полоса поглощения озона около 4,75 μ , наблюдалась в земной атмосфере и измеренная ранее. Подтверждено соответствие этой полосы комбинационной частоте $(v_1 + v_3)$. Определены предварительно следующие значения вращательных констант для центра полосы: $A = 3,513$, $B = 0,437$, $C = 0,387$ и $v_0 = 2110,85 \text{ см}^{-1}$. Изучено влияние на спектр центробежного растяжения.

М. Киселева

оф. 1964. 108

O₃ (n)

N₂O₃

(i)

XI-2588

Infrared absorption spectra of the products of a glow discharge in oxygen. T. V. Yagodovskaya and L. I. Nekrasov. *Zh. Fiz. Khim.* 37(10), 2347-9(1963). Infrared absorption spectra are given of the products of a glow discharge in O at -190°. An assignment of frequencies is made, taking into account the extinction coeffs. of gaseous O₃ and N oxides. The frequencies, 630, 667, 1038, and 1125 cm.⁻¹, are assigned to liquid O₃, and those at 730 and 1250 cm.⁻¹ to N₂O₄. It is possible to prep. a thin film of liquid O₃ on a vertically placed slide of rock salt.

A. Libackyj

~~Scans~~

C.A. 1964.60.3

24489



O₃

Синтез

№2 Д79. Интерпретация экспериментального спектра поглощения озона и двуокиси серы в длинноволновой ИК-области спектра. Gora Edwin K. Interpretation of experimental absorption profiles for ozone and sulfur dioxide in the far infrared. Abstract. «Mem. Soc. roy. sci. Liege», 1964, 9, 73 (англ.)

1964

Приведены результаты расчета вращательных спектров молекул O₃ и SO₂, выполненного с учетом поправки первого приближения на центробежное растяжение при допущении, что форма полос передается лоренцевской кривой с одинаковой полушириной для всех полос. С незначительными исключениями максимумы полос рассчитанных спектров в пределах ошибки эксперимента совпадают с аналогичными величинами эксперим. спектров, известных в области 15—100 см^{-1} . Несколько хуже это соответствие для спектра SO₂ в области частот, больших 80 см^{-1} . Имеются также несоответствия между относит. интенсивностями некоторых полос эксперим. и рассчитанных спектров.

А. Станевич

Х. 1965. 5

1964

03
Mean amplitudes of vibration and thermodynamic functions of O₃. G. Nagarajan (Oklahoma State Univ., Stillwater). *Acta Phys. Austriaca* 17(3), 240-5(1964)(in English). Probable mol. structures for O₃ were discussed. Mean-sq. amplitude quantities, generalized mean-sq. amplitude quantities (mean-sq. parallel amplitudes, mean-sq. perpendicular amplitudes, and mean cross products) and mean amplitudes of vibration for the bonded and nonbonded atom pairs on the basis of a bent model were calcd. by the Cyvin's method (CA 54, 5235d) at T = 0 and T = 298°K. Values of the mean amplitudes of vibration for the bonded and nonbonded atom pairs were slightly greater than the previously reported values. A comparison was made for the nonbonded atom pair with other related mols. Molar thermodynamic functions were calcd. with an assumption of a rigid rotator, harmonic oscillator approxn. for 200-2000°K.

G. Nagarajan

Qus

5

C.A. 1964 C N3 25035.



O_3

амплитуд
колебаний

1 Д43. Средние амплитуды колебаний и термодинамические функции озона. Nagačajan G. Mean amplitudes of vibration and thermodynamic functions of ozone. «Acta phys. austriaca», 1964, 17, № 3, 240—245 (англ.)

С помощью Σ - и G -матриц составлено и решено вековое ур-ние для изогнутой симметричной формы молекулы. Вычислены симметризованные матрица среднеквадратичных амплитуд, обобщенные среднеквадратичные амплитуды и средние амплитуды колебаний для связанных и несвязанных атомов при т-рах 0—298° К. В приближении жесткого ротора и гармонич. осциллятора рассчитаны энталпия, свободная энергия, энтропия и теплоемкость для идеального газового состояния при атмосферном давлении и т-рах 200—2000° К. Для вычисления моментов инерции использованы данные по микроволн. спектрам.

В. Зубов

ф. 1965.10

1965

2/45

X/1

4

1964

O₃
Chemsp

The ($\nu_1 + \nu_3$) combination band of ozone. Sandor Trajmar (California Inst. of Technol., Pasadena) and David J. McCaa. *J. Mol. Spectry.* 14(3), 244-9(1964). A high-resolution spectrum of the O₃ 4.75- μ band was analyzed. Wilson and Badger's assignment (*CA* 42, 6655g) as the ($\nu_1 + \nu_3$) combination band was confirmed. The rotational consts. and band center are: $A = 3.50$, $B = 0.438$, $C = 0.387$, cm.⁻¹, and $\nu_0 = 2110.7$, cm.⁻¹. The observed spectrum can be well reproduced up to $J = 20$ without taking into account centrifugal distortion. The anharmonicity const., $x_{1,3}$, has the value -34.4 cm.⁻¹ RCKP

X1-2396

C.A. 1964. 61. 13
15541/e

1964

- ✓ 20 Б76. Комбинационная полоса озона ($v_1 + v_3$).
 Трајмат Sandor, McCaa David J. The ($v_1 + v_3$) combination band of ozone. «J. Molec. Spectrosc.», 1964, 14 № 3, 244—249 (англ.)

Исследована структура полосы озона около $4,57 \mu$, полученная при высоком разрежении при давл. 40 мм рт. ст., т-ре 300°K и длине оптич. пути $\sim 30 \text{ см}$. Измеренный спектр сравнил с расчетным для модели жесткого ротора. Подтверждено предположение Вильсона и Беджера, что полоса $4,75 \mu$ комбинационная. Наблюдаемый спектр хорошо согласуется с расчетным без учета центробежного растяжения до $J=20$. Определены вращательные постоянные ($A=3,50_3$, $B=0,438_4$, $C=0,387_0 \text{ см}^{-1}$), положение центра полосы ($v_0 = 2110,7_9 \text{ см}^{-1}$), и постоянная ангармоничности ($x_{1,3} = -34,4 \text{ см}^{-1}$).

М. Киселева

Х1-2396

x · 1965 · 20